

شبیه‌سازی عددی شکست در مواد ترد با استفاده از روش اجزاء محدود توسعه یافته

کارشناس ارشد، گروه مهندسی مکانیک، دانشگاه اصفهان، اصفهان، ایران

علیرضا نصرنیا

استادیار، گروه مهندسی مکانیک، دانشگاه اصفهان، اصفهان، ایران

فرهاد حاجی ابوطالبی

چکیده

امروزه مواد ترد و شبکه ترد به دلیل شکل پذیری بسیار کم و همچنین استحکام و سفتی بالا در مقایسه با وزنشان، به صورت گسترده در سازه‌های مختلف مانند سازه‌های هواپایی استفاده می‌شوند. با افزایش کاربرد این مواد در صنعت، نیاز بیشتری برای تحلیل سازه‌های ترد احساس می‌گردد. در این مقاله ابتدا به منظور بررسی مکانیزم جوانه‌زنی و رشد ترک در مواد ترد، روش اجزاء محدود توسعه یافته به کار برده می‌شود. سپس، مدل‌های آسیب بر مبنای مدل‌های ناحیه چسبنده برای پیش‌بینی ایجاد و رشد ترک در نظر گرفته می‌شوند. در ادامه، با استفاده از نرم‌افزار اجزاء محدود تجارت آباکوس، تعدادی از مسائل آزمون شبیه‌سازی گردیده، مناطق آسیب‌دهنده و بحرانی در آن‌ها پیش‌بینی می‌شود. در آخر، نتایج حاصل از شبیه‌سازی‌های عددی با نتایج تجربی و تئوری مقایسه و اعتبارسنجی می‌گردد. مقایسه نتایج عددی و تجربی آشکار می‌کند که معیارهای آسیب بر پایه تنش از دقت بهتری نسبت به معیارهای آسیب بر پایه کرنش برخوردار می‌باشند. بنابراین نتیجه گیری می‌شود که در مقایسه با معیارهای آسیب بر پایه کرنش، استفاده از معیارهای آسیب بر پایه تنش در پیش‌بینی شکست مواد ترد مطمئن تر است.

واژه‌های کلیدی: رشد ترک، مواد ترد، روش اجزاء محدود توسعه یافته، مدل‌های ناحیه چسبنده.

Numerical Simulation of Fracture in Brittle Materials using the Extended Finite Elements Method

A. Nasrnia

F. H. Aboutalebi

Department of Mechanical Engineering, University of Isfahan, Isfahan, Iran

Department of Mechanical Engineering, University of Isfahan, Isfahan, Iran

Abstract

Today, brittle and quasi brittle materials are widely used in the various structures such as aerospace structures, because of very low deformability as well as high strength and stiffness compared with their weight. There is a greater need for analysis of the brittle structures, with increasing application of these materials in the industries. In this paper first, the extended finite element method (XFEM) is applied to investigate the nucleation and crack growth mechanism of the brittle materials. Then, damage models based on cohesive zone models (CZM) are considered to predict initiation and crack growth. In the following, a number of benchmark problems are simulated; damaged and critical zones in them are predicted, using the ABAQUS commercial finite elements software. Finally, the numerical simulations results are compared with the experimental and theoretical results and validated. Comparison of the numerical and experimental results reveal that the stress-based damage criteria are more accurate than the strain-based damage criteria. Hence, it is concluded that in comparison with the stress-based damage criteria, using the stress-based damage criteria is more reliable in fracture prediction of brittle materials.

Keywords: Crack Growth, Brittle Materials, Extended Finite Element Method (XFEM), Cohesive Zone Models (CZM).

زمانی که شکست خیلی ترد باشد (در محدوده شکست الاستیک)، پیش‌بینی قابل قبولی دارد. به همین منظور تئوری‌های شکست الاستیک غیرخطی نظری مدل ترک الاستیک معادل^۱ مدل ناحیه چسبنده^۲ ارائه شد^[۴]. یکی از مهم‌ترین محدودیت‌های مدل‌های ارائه گردیده نیاز به ترک از پیش تعریف شده در قطعه است. هیلربرگ و همکاران با برقراری ارتباط پیوسته بین آنالیزهای برپایه مقاومت و مکانیک شکست، مدلی پیشنهاد نمودند که قادر بود سازه‌های بدون ترک را نیز تحلیل نماید^[۵]. در ادامه بیشتر تحقیقات صرف ارائه چهارچوب ریاضی مناسب برای مفهوم مکانیک شکست گردید^[۶]. با آغاز قرن بیستم یکی از مهم‌ترین اقدامات، تلاش برای مدل‌سازی ناپیوستگی در درون المان بود. این

۱- مقدمه

پیش‌بینی رفتار خرابی مواد ترد با توجه به کاربرد وسیع و شکست مکانیکی ناگهانی در این مواد، از اهمیت بهسازی برخوردار است. تحقیقات اولیه در زمینه شکست مواد ترد موجب پایه‌گذاری بنیان‌های مکانیک شکست الاستیک خطی^۱ گردید.

برای اولین بار، گریفیث در سال ۱۹۲۰ پدیده شکست در مواد جامد را مورد بررسی قرار داد^[۱]. پس از آن ایروین به تحلیل تنش و کرنش نزدیک انتهای ترک در یک صفحه ترک‌دار پرداخت^[۲]. در همین راستا، رایس انتگرال مستقل از مسیر و همچنین تمرکز کرنش اطراف شکاف‌ها و ترک‌ها را تحلیل نمود^[۳]. مکانیک شکست الاستیک خطی

^۱Egllivalent Elastic crack Model

²Cohesive Zone Model (CZM)

$$u = \sum_{i \in I} u_i \phi_i + \sum_{j \in J} b_j \phi_j H(x) + \sum_{k \in L} \phi_k \left(\sum_{\alpha=1}^4 c_k^\alpha F_\alpha(x) \right) \quad (1)$$

در رابطه فوق، u بردار جابه‌جایی گره‌ای معمولی، ϕ توابع شکل معمولی، b درجات آزادی اضافی مربوط به ناپیوستگی جابه‌جایی و c_k^α درجات آزادی اضافی مربوط بهتابع مجانب نوک ترک می‌باشند. همچنین توابع $H(x)$ و $F_\alpha(x)$ به ترتیب بیان‌گر غنی‌سازی ناپیوستگی و میدان تنشبی‌نهایت بوده و مطابق روابط (۲) و (۳) تعریف می‌گردند:

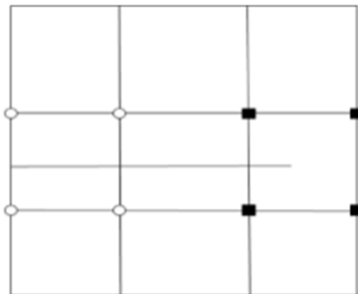
$$H(x) = \begin{cases} 1 & (X - X^*).n \geq 0 \\ -1 & (X - X^*).n < 0 \end{cases} \quad (2)$$

در رابطه فوق، X یک نقطه گوس و X^* نقطه‌ای روی ترک است که کمترین فاصله را تا نقطه X دارد. همچنین n بردار یکه عمود بر ترک در نقطه X^* می‌باشد. توابع مجانب نوک ترک برای ماده الاستیک همسانگردنیز به صورت توابع زیر در نظر گرفته می‌شوند:

$$F_\alpha(r, \theta) = \begin{cases} \sqrt{r} \sin\left(\frac{\theta}{2}\right), \sqrt{r} \cos\left(\frac{\theta}{2}\right), \\ \sqrt{r} \sin\left(\frac{\theta}{2}\right) \sin(\theta), \sqrt{r} \cos\left(\frac{\theta}{2}\right) \sin(\theta) \end{cases} \quad (3)$$

در شکل (۱) نحوه غنی‌سازی گره‌ها در روش اجزاء محدود توسعه-یافته نشان داده شده است. گره‌هایی که با علامت دائیره مشخص گردیده‌اند، گره‌هایی هستند که با درجات آزادی r و b و تابع $H(x)$ غنی‌شده و گره‌های دارای علامت مربع، گره‌هایی هستند که با درجات آزادی c_k^α و تابع $F_\alpha(x)$ غنی‌گردیده‌اند. یکی از نکات مهم در هنگام استفاده از روش اجزاء محدود توسعه-یافته، تعیین گره‌هایی است که باید غنی‌سازی شوند. برای شناسایی این گره‌ها از روش مجموعه تراز استفاده می‌گردد. این روش فرآیند مدل‌سازی ترک را بسیار ساده نموده و برای معرفی هندسه ترک از دو تابع علامت Φ و Ψ که بر هم عمود می‌باشند، استفاده می‌کند.

تابع Φ نشان‌دهنده سطح ترک و تابع Ψ بیان‌گر صفحه عمود بر سطح ترک می‌باشد. در نتیجه تقاطع این دو تابع، بیان‌کننده جبهه ترک است.



شکل ۱- نمایش نحوه غنی‌سازی در اجزاء محدود توسعه-یافته

تحقیقات درنهایت منجر به پایه‌گذاری روش اجزاء محدود توسعه یافته^۱ گردید[۸]. در سال‌های اخیر بیشتر تحقیقات در زمینه شکست مواد ترد، معطوف به ارائه معیارهای نظریه شکست قطعات با شیارهای گوناگون و تحت شرایط بارگذاری مختلف شده است[۹-۱۲].

در پژوهش حاضر ابتدا، با استفاده از روش نوین اجزاء محدود توسعه-یافته و همچنین استفاده از رویکرد مکانیک آسیب و برمبنای مدل ناجیه چسبینده، جوانه‌زنی و رشد ترک در آزمون‌های مختلف و تحت بارگذاری‌های خالص و ترکیبی مورد بررسی قرار می‌گیرد. سپس، با به‌دست آوردن مسیر رشد ترک و همچنین نیروی لازم برای شکسته‌شدن نهایی قطعه به بررسی کارایی و دقت معیارهای مختلف پرداخته شده و معیارهای مناسب مشخص می‌گردد.

۲- روش اجزاء محدود توسعه-یافته

روش اجزاء محدود توسعه-یافته نسبت به روش‌های پیشین (روش‌های ارائه شده بر پایه اجزاء محدود متداول مانند روش حدکث تنش مماسی^۲ و حداقل چگالی انرژی کرنشی^۳) دارای مزایای بسیاری است. در روش‌های قبل برای مدل کردن ترک در شبکه، لازم بود که شبکه‌بندی با هندسه ناپیوستگی مطابقت داشته باشد. این عیب زمانی که شبیه‌سازی رشد ترک مطرح باشد، بیشتر احساس می‌شود؛ زیرا در این حالت، در هر مرحله از رشد ترک لازم است شبکه‌بندی با هندسه ترک جدید تطبیق داشته باشد. همچنین در روش‌های پیشین برای محاسبه تکینگی در نوک ترک لازم است از المان‌های بسیار ریز استفاده گردد که این امر بار محاسباتی بالایی را به مسئله تحمیل می‌کند. روش اجزاء محدود توسعه-یافته با ارائه رویکردی جدید برای پیاده‌سازی ترک در مسئله، بر بسیاری از عیوب ذکر شده غلبه کرده است.

بلچکو و بلک نخستین بار برای تعریف ناپیوستگی از تابع غنی‌سازی^۴ استفاده نمودند. این امر باعث ایجاد روش اجزاء محدود متداول، بر مبنای مفهوم افزار واحد گردید. در این روش برای معرفی ترک به صورت غیرهندسی از تابع غنی‌شده مخصوص به همراه درجات آزادی اضافی استفاده می‌شود. این تابع و درجات آزادی اضافه شده دو ویژگی ناپیوستگی در میدان جابه‌جایی و میدان تنش بی‌نهایت را به صورت ریاضی به مدل اجزاء محدود اضافه می‌نمایند. با تعریف این تابع غنی‌سازی، نیازی به واردکردن ترک به صورت هندسی نخواهد بود[۸]. اندکی پس از تحقیقات بلچکو و بلک، مویس و همکاران مدلی ارائه نمودند که در آن محدودیت‌های مدل قبلی کاهش یافته و بر این اساس روشی برای مدل‌سازی گسترش ترک بدون نیاز به تغییر شبکه‌بندی پیشنهاد شد[۱۳].

میدان جابه‌جایی با استفاده از روش اجزاء محدود توسعه-یافته به صورت رابطه زیر تعریف می‌شود:

¹Extended Finite Element Method (XFEM)

²Maximum Tangential Stress (MTS)

³Minimum Strain Energy Density (MSED)

⁴Enrichment functions

-۳- مولفه عمودی تنش نامی و t_s ، t_t مولفه‌های برشی آن هستند. هم-
چنین ε_n^0 ، t_s^0 و t_t^0 بیان کننده مقادیر تنش‌های اسمی می‌باشند به شرطی
که تغییرشکل‌ها به صورت کاملاً عمودی نسبت به صفحه ترک احتمالی
یا در جهات برشی اول و دوم اعمال شوند.

۳-۴- معیار حداکثر کرنش نامی^۴

مشابه معیار قبل، این معیار با استفاده از معادله (۸) بیان می‌گردد [۱۵]:

$$f = \max \left\{ \frac{\langle \varepsilon_n \rangle}{\varepsilon_n^0}, \frac{\varepsilon_s}{\varepsilon_s^0}, \frac{\varepsilon_t}{\varepsilon_t^0} \right\} \quad (8)$$

ε_n مولفه عمودی کرنش نامی و ε_s ، ε_t مولفه‌های برشی آن هستند.
 ε_s^0 و ε_t^0 نیز بیان کننده مقادیر کرنش‌های اسمی می‌باشند به
شرطی که تغییرشکل‌ها به صورت کاملاً عمودی نسبت به صفحه ترک
محتمل یا در جهات برشی اول و دوم اعمال گردند.

۳-۵- معیار مربع تنش نامی^۵

این معیار با استفاده از رابطه زیر تعریف می‌شود [۱۵]:

$$f = \left\{ \frac{\langle t_n \rangle}{t_n^0} \right\}^2 + \left\{ \frac{t_s}{t_s^0} \right\}^2 + \left\{ \frac{t_t}{t_t^0} \right\}^2 \quad (9)$$

۳-۶- معیار مربع کرنش نامی^۶

معیار مربع کرنش نامی مشابه با معیار قبل، به صورت معادله (۱۰) بیان
می‌گردد [۱۵]:

$$f = \left\{ \frac{\langle \varepsilon_n \rangle}{\varepsilon_n^0} \right\}^2 + \left\{ \frac{\varepsilon_s}{\varepsilon_s^0} \right\}^2 + \left\{ \frac{\varepsilon_t}{\varepsilon_t^0} \right\}^2 \quad (10)$$

از میان معیارهای شش گانه فوق، تنها دو معیار اول (MPE و MPS)
 قادر به پیش‌بینی زاویه ایجاد ترک می‌باشند، بدین صورت که مطابق
 معیارهای فوق ترک در راستای عمود بر تنش اصلی یا کرنش اصلی
 حداکثر ایجاد می‌شود. اما در سایر معیارها (QNE، QNS، MNE، MNS)
 جهت ایجاد ترک قابل تشخیص نبوده و باید توسط کاربر تعیین گردد.

۲-۳- تکامل خرابی

تکامل تحریب بیان گر نرخ کاهش سفتی ماده پس از رسیدن به معیار
شروع خرابی است. مقدار اسکالار D نشان‌دهنده میزان خرابی کلی در
ماده است. در ابتدا D مساوی با صفر است و با تکامل خرابی به مقدار
یک می‌رسد. رابطه‌ی تنش-کرنش در صفحه ترک مطابق زیر تعریف
می‌شود [۱۷]:

$$\tilde{\sigma} = \mathbf{C} \tilde{\varepsilon} \quad (11)$$

$$\tilde{\sigma} = \{\sigma_{sn}, \sigma_{tm}, \sigma_n\}^T, \tilde{\varepsilon} = \{\varepsilon_{sn}, \varepsilon_{tm}, \varepsilon_n\}$$

⁴Maximum Nominal Strain (MNE)

⁵Quadratic Nominal Stress (QNS)

⁶Quadratic Nominal Strain (QNE)

-۳- معیار آسیب

اساس روش مدل ناحیه چسبنده بر پایه معرفی رابطه ساختاری
نرم‌شونده در ناحیه آسیب‌دیده اطراف نوک ترک است [۱۴]. هر مکانیزم
خرابی شامل ۳ مرحله، معیار شروع، قانون تکامل تحریب و رشد خرابی
است. رابطه تنش-کرنش در المان بحرانی در ابتدا به صورت الاستیک
خطی بوده، پس از رسیدن تنش یا کرنش به یک مقدار حداکثری افت
تدریجی سفتی المان شروع شده و درنهایت با رسیدن سفتی المان به
مقدار صفر، المان دچار تحریب کامل می‌گردد. در روش اجزاء محدود
توسعه یافته، تحریب فوق توسط قطع ارتباط گره‌های حقیقی و مجازی
به وجود می‌آید.

۳-۱- شروع خرابی

شروع خرابی به لحظه‌ای اطلاق می‌شود که پاسخ ماده در برخی از نقاط
کاهش می‌یابد. این کاهش زمانی شروع می‌گردد که تنش‌ها یا کرنش‌ها
معیار مورد نظر را ارضاء نمایند. در ادامه تعدادی از معیارهای شروع
تحریب ارائه می‌شوند:

۳-۱-۱- معیار حداکثر تنش اصلی^۱

این معیار به صورت رابطه زیر بیان می‌گردد [۱۵]:

$$f = \left\{ \frac{\langle \sigma_{\max} \rangle}{\sigma_{\max}^0} \right\} \quad (4)$$

σ_{\max} حداکثر تنش اصلی و σ_{\max}^0 حداکثر تنش اصلی قابل قبول بوده و
علامت $\langle \rangle$ بیان گر برآکت ماقولی است که توسط رابطه (۵) تعریف
می‌شود. استفاده از این برآکت بیانگر عدم تأثیر فشار در ایجاد و رشد
ترک است [۱۶].

$$\langle \sigma_{\max} \rangle = \begin{cases} \sigma_{\max} & \sigma_{\max} > 0 \\ 0 & \sigma_{\max} \leq 0 \end{cases} \quad (5)$$

۳-۱-۲- معیار حداکثر کرنش اصلی^۲

مشابه معیار قبل، معیار حداکثر کرنش اصلی مطابق رابطه (۶) بیان
می‌گردد [۱۵]:

$$f = \left\{ \frac{\langle \varepsilon_{\max} \rangle}{\varepsilon_{\max}^0} \right\} \quad (6)$$

که در آن ε_{\max} حداکثر کرنش اصلی و ε_{\max}^0 حداکثر کرنش اصلی
قابل قبول است.

۳-۱-۳- معیار حداکثر تنش نامی^۳

این معیار توسط رابطه زیر تعریف می‌شود [۱۵]:

$$f = \max \left\{ \frac{\langle t_n \rangle}{t_n^0}, \frac{t_s}{t_s^0}, \frac{t_t}{t_t^0} \right\} \quad (7)$$

²Maximum Principle Strain (MPE)

³Maximum Nominal Stress (MNS)

جدول ۱- خواص مکانیکی نمونه های گرافیتی [۱۸]

مقدار	مشخصات ماده
۸۰.۵۰	مدول الاستیسیته $E(MPa)$
۳۳۵۴	مدول برشی $G(MPa)$
۰/۲۰	ضریب پواسون ν
۴۶	استحکام نهایی کششی (MPa)
۳۰	استحکام نهایی پیچشی (MPa)
۱/۰۶	چقرمگی شکست $(MPam^{0.5})$

برای بررسی اثر بارگذاری ترکیبی، پارامتری به نام \overline{M}_e^{key} تعریف می-گردد. نحوه محاسبه این پارامتر به صورت رابطه (۱۵) است:

$$\overline{M}_e^{key} = \frac{2}{\pi} \tan^{-1} \left(\frac{K_I^{key}}{K_{II}^{key}} \right) \quad (15)$$

مقادیر K_I^{key} و K_{II}^{key} به ترتیب بیان کننده ضرایب شدت تنش در حالت بارگذاری کششی خالص و حالت بارگذاری برشی خالص می‌باشد. این ضرایب با استفاده از روابط زیر قبل محاسبه هستند [۱۱]:

$$K_I^{key} = \frac{\sqrt{2\rho\sigma_{max}}}{3} \quad (16)$$

$$K_{II}^{key} = \lim_{r \rightarrow \rho} \left\{ \frac{\sqrt{2\rho\sigma_{r\theta}(r,0)}}{[1 + 1.625(\rho/r) - 0.75(\rho/r)^2 - 1.875(\rho/r)^3]} \right\} \quad (17)$$

در معادلات فوق، σ_{max} ، استحکام تسلیم ماده، ρ شعاع انتهای شیار، r فاصله مرکز انحنای شیار تا محل تنش کششی حداقل و $\sigma_{r\theta}(r,0)$ ، مقدار تنش برشی حداقل در حالت بارگذاری مود دوم خالص است. شبیه‌سازی‌ها با استفاده از نرم‌افزار ABAQUS آنجام شده بدین صورت که شرایط بارگذاری استاتیکی و ترکیبی بر روی شبکه‌ای متکل از المان-های سه‌بعدی هشت‌گرهای به صورت درون صفحه‌ای اعمال می‌گردد. در شکل ۳، نحوه شبکه‌بندی اطراف شیار کلیدی شکل در دو وضعیت مود اول و مود ترکیبی مشخص شده است. همان‌گونه که شکل نشان می-دهد، در شرایط بارگذاری تحت مود اول به علت تقارن، نصف مدل در نظر گرفته می‌شود. با اعمال شرایط ذکر شده در مدل اجزاء محدود، نتایج عددی حاصل از معیارهای مختلف به دست می‌آید. شکل ۴ نحوه تغییر زاویه ایجاد ترک به ازای بارگذاری‌های مختلف بر حسب پارامتر \overline{M}_e^{key} برای دو معیار حداقل تنش اصلی و حداقل کرنش اصلی و هم‌چنین مقایسه آن با نتایج نظری [۱۰] و تجربی [۱۸] را آشکار می‌کند. در جداول ۲ و ۳ نیز به ترتیب مقادیر متضایر با زاویه و نیروی شکست پیش‌بینی شده توسط معیارهای مختلف بر حسب زاویه شیار β ارائه گردیده و با نتایج حاصل از آزمونهای مرجع [۱۸] مقایسه شده است. نتایج نشان می‌دهد که معیارهای بر پایه تنش، نسبت به معیارهای کرنشی از دقیق‌تر برخوردار می‌باشند. مطابق جدول ۳، حداقل خطای در بین معیارهای تنشی ۹/۰۰ درصد و در بین معیارهای کرنشی ۱۴/۳۲ درصد است. به علاوه، معیارهای تنشی در مقایسه با معیارهای کرنشی مشابه، نیروی شکست را با دقت مناسبتری پیش‌بینی می‌کنند.

$$C = \begin{cases} KI & \varepsilon_m^* \leq \varepsilon_m^0 \\ (1-D)KI + DKI_c & \varepsilon_m^0 \leq \varepsilon_m^* \leq \varepsilon_m^f \\ KI_c & \varepsilon_m^* \geq \varepsilon_m^f \end{cases} \quad (12)$$

در معادله فوق، K سفتی الاستیک اولیه است. برای کرنش‌های قائم فشاری، ویژگی تماسی المان به منظور جلوگیری از ورود صفات ترک به یکدیگر در اثر تنش فشاری لحاظ شده است [۱۴]. هم‌چنین D پارامتر خرابی یا میزان رشد آسیب به صورت زیر تعریف می‌گردد:

$$D = \frac{\varepsilon_m^f (\varepsilon_m - \varepsilon_m^0)}{\varepsilon_m (\varepsilon_m^f - \varepsilon_m^0)} \quad (13)$$

در رابطه فوق، ε_m مقدار بیشینه کرنش مؤثر در هر مرحله از اعمال بار است. ε_m^0 و ε_m^f نیز به ترتیب کرنش‌های مؤثر متناظر با شروع و پایان تحریب می‌باشند. پارامتر کرنش مؤثر به صورت معادله (۱۴) نوشته می‌شود:

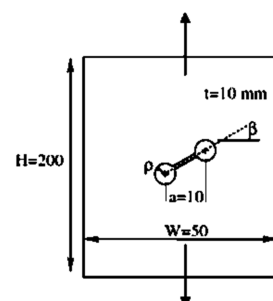
$$\varepsilon_m = \sqrt{<\varepsilon_n>^2 + \varepsilon_t^2 + \varepsilon_s^2} \quad (14)$$

۴- بررسی صحت مدل‌ها

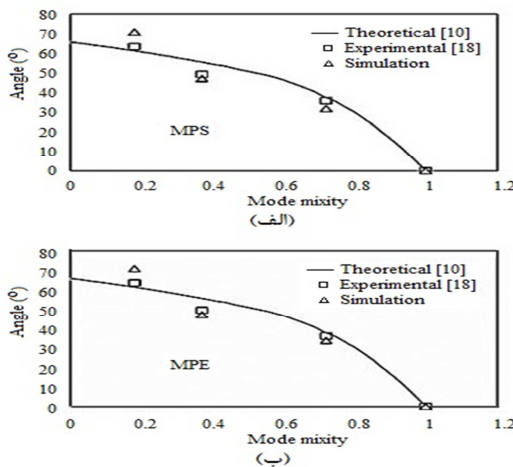
به منظور بررسی کارایی هر یک از مدل‌های ارائه شده، آزمون‌های شکست در شرایط مختلف بارگذاری شبیه‌سازی شده و نتایج حاصل با نتایج نظری و تجربی مقایسه می‌گردد.

۴-۱- آزمون کشش نمونه با شیار کلیدی شکل

آزمون کشش نمونه با شیار کلیدی شکل تحت بارگذاری‌های مختلف در نظر گرفته می‌شود. شکل ۲، هندسه قطعه و جدول ۱ خواص مکانیکی ماده [۱۸] را نمایش می‌دهند. مطابق شکل ۲، پهنای قطعه (W)، طول (H)، عمق شیار (a)، ضخامت نمونه (t) و شعاع سوراخ انتهایی (ρ) به ترتیب ۵۰، ۲۰۰، ۱۰، ۲۰۰ و ۱ میلی‌متر می‌باشند.

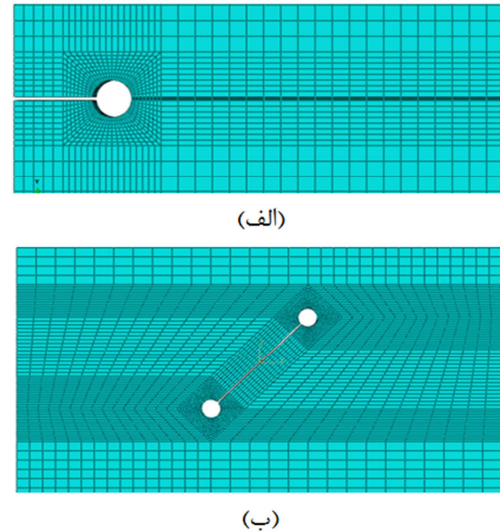


شکل ۲- هندسه نمونه با شیار کلیدی شکل



شکل ۴- نتایج زاویه ایجاد ترک پیش بینی شده توسط دومعیار (الف) حداکثر تنش اصلی و (ب) حد اکثر کرنش اصلی و نتایج اصلی تئوری [۱۰] و تجربی [۱۸]

۲-۳- آزمون دیسک برزیلی با شیار V شکل مرکزی
در این آزمون دیسک برزیلی نشان داده شده در شکل ۵ و خواص مکانیکی مطابق جدول ۴ [۱۹] تحت فشار قرار می‌گیرد. در شبیه‌سازی‌ها برای تمام مدل‌ها، قطر دیسک (D)، نصف طول شیار ($d/2$)، ضخامت دیسک و شعاع سر شیار به ترتیب 80 ، 20 ، 10 و 4 میلی‌متر در نظر گرفته می‌شود.



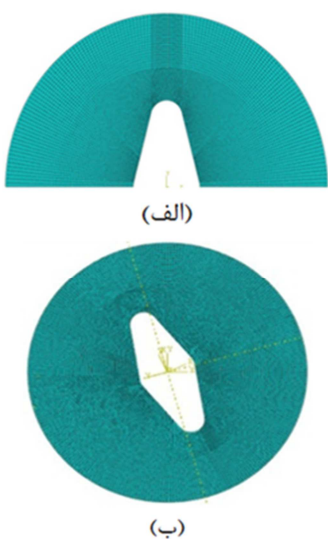
شکل ۳- نحوه المان‌بندی نمونه با شیار کلیدی‌شکل، (الف) مود اول بارگذاری و (ب) مود ترکیبی

جدول ۲- نتایج زاویه ایجاد ترک پیش‌بینی شده توسط معیارهای حداکثر تنش اصلی و حد اکثر کرنش اصلی و نتایج آزمون تجربی [۱۸]

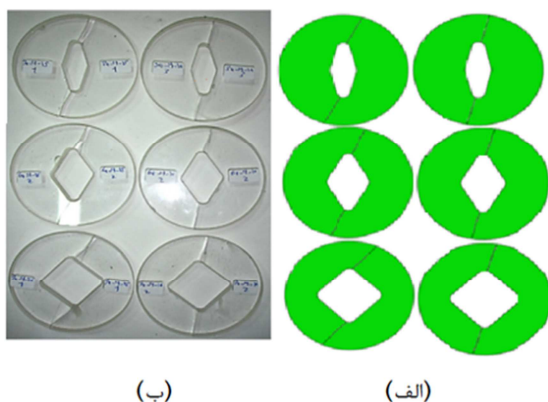
%Err	θ_{MPE}	%Err	θ_{MPS}	θ_{Exp} [۱۸]	β
.
۶/۵۱	۳۳/۷۵	۱۱/۱۱	۳۲/۰۹	۳۶/۱۰	۳۰
۴/۸۰	۴۷/۲۲	۴/۳۳	۴۷/۴۵	۴۹/۶۰	۴۵
۱۱/۴۳	۷۰/۹۸	۱۱/۵۴	۷۱/۰۵	۶۳/۷۰	۶۰

جدول ۳- نتایج نیروی شکست پیش‌بینی شده توسط معیارهای مختلف و نتایج آزمون تجربی [۱۸]

%Err	F_{QNE} (KN)	%Err	F_{QNS} (KN)	%Err	F_{MNE} (KN)	%Err	F_{MNS} (KN)	%Err	F_{MPE} (KN)	%Err	F_{MPS} (KN)	F_{Exp} [۱۸]	β
۱۲/۰۳	۴/۴۷	۶/۷۷	۳/۷۲	۱۲/۷۸	۴/۵۰	۷/۲۷	۳/۷۰	۱۰/۲۸	۴/۴۰	۲/۰۱	۳/۹۱	۳/۹۹	.
۶/۵۴	۴/۴۰	۵/۵۷	۳/۹۰	۷/۲۶	۴/۴۳	۵/۰۸	۳/۹۲	۵/۳۳	۴/۳۵	۵/۸۱	۳/۸۹	۴/۱۳	۳۰
۸/۲۵	۴/۴۶	۷/۰۴	۳/۸۳	۱۴/۳۲	۴/۷۱	۶/۸۰	۳/۸۴	۱۲/۸۶	۴/۶۵	۶/۳۱	۳/۸۶	۴/۱۲	۴۵
۵/۸۴	۴/۳۵	۸/۷۶	۳/۷۵	۶/۰۸	۴/۳۶	۸/۵۲	۳/۷۶	۹/۹۸	۴/۵۲	۹/۰۰	۳/۷۴	۴/۱۱	۶۰

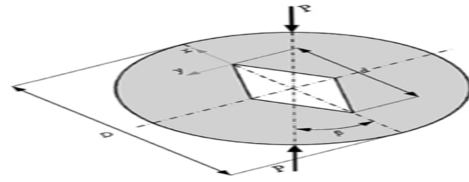


شکل ۶- نحوه المان بندی دیسک برزیلی با شیار V شکل، (الف) مود اول بارگذاری و (ب) مود ترکیبی
رشد ترک در نمونه های شبیه سازی شده را با نتایج عملی [۱۹] نشان می دهد.



شکل ۷- وضعیت نهایی (الف) نتایج حاصل از شبیه سازی
و (ب) نتایج تجربی [۱۹]

همانند آزمون قبل تنها دو معیار حداکثر تنش اصلی حداقل کرنش اصلی قادر به پیش بینی مسیر رشد ترک می باشند. هردو معیار تغییر زاویه ترک در شرایط مختلف بارگذاری را به درستی پیش بینی می نمایند. برای سایر معیارها نیز مسیر رشد ترک در شرایط مختلف بارگذاری را به درستی پیش بینی می نمایند. برای سایر معیارها نیز مسیر رشد ترک به صورت پیش فرض مشخص شود. نیروی پیش بینی شده توسط معیارهای مختلف و مقایسه آن با مقادیر مختلف و مقایسه آن با مقادیر تجربی [۱۹] به ازای زوایای رأس شیار ۹۰.۶۰.۳۰ درجه در جدول ۵ نشان داده شده است. مطابق با این جدول، معیارهایی که بر پایه تنش نوشته شده اند از دقت بیشتری نسبت به معیارهای کرنشی برخوردار می باشند. در زاویه های ۹۰.۶۰.۳۰ درجه حداکثر خطای ترتیب ۹۳/۴۳ و ۱۸/۳۰.۴۳ محدود است که همگی آن ها در معیارهای کرنشی می باشند. در بین معیارهای تنشی بر جوانی شکست از دقت قابل قبول تری نسبت به



شکل ۵- دیسک برزیلی با شیار V شکل

جدول ۴- خواص مکانیکی [۱۹]

مقدار	مشخصات ماده
۲۹۶۰	مدول الاستیسیته (MPa)
۰/۳۸	ضریب پواسون ν
۷۰/۵۰	استحکام نهایی کششی (MPa)
۱/۹۶	چقرمگی شکست ($M Pam^{0.5}$)

به منظور بررسی تأثیر زاویه شیار بر نتایج شکست از شیارهایی با زوایای دهانه ۳۰، ۶۰ و ۹۰ درجه استفاده میگردد. همچنین برای بررسی تأثیر ترکیب مودهای شکست، برای هر هندسه بارگذاری در زاویه های متفاوت اعمال می شود، به گونه ای که محدوده ای از مود یک خالص تا مود دو خالص ایجاد گردد.
شرایط بارگذاری ترکیبی، درون صفحه ای و استاتیکی بر روی شبکه ای مشکل از المان های سه بعدی هشتگرهایی که در شکل عنstan داده شده، اعمال می گردد. همان گونه که در شکل مشخص است، در شرایط بارگذاری تحت موارد اول به علت تقارن، \overline{M}_e^v نصف مدل در نظر گرفته بارگذاری ترکیبی پارامتری به نام (۱۸) تعریف می گردد. نحوه محاسبه این پارامتر به صورت رابطه (۱۸) می باشد [۲۰]:

$$\overline{M}_e^v = \frac{2}{\pi} \tan^{-1} \left(\frac{K_I^v}{K_{II}^v} \right) \quad (18)$$

مقادیر K_I^v و K_{II}^v به ترتیب بیان کننده ضرایب شدت تنش در حالت بارگذاری کششی خالص و حالت بارگذاری برشی خالص است. این مقادیر با استفاده از روابط (۱۹) و (۲۰) محاسبه می شوند:

$$K_I^v = \frac{\sqrt{2\pi}\sigma_{\max} r_0^{1-\lambda_1}}{1+w_1} \quad (19)$$

$$K_{II}^v = \lim_{r \rightarrow r_0} \left\{ \frac{\sqrt{2\pi\rho}\sigma_{r\theta}(r,0)r^{1-\lambda_2}}{[1-(r/r_0)^{\mu_2-\lambda_2}]} \right\} \quad (20)$$

در روابط فوق، λ_1 ، λ_2 ، w_1 ، μ_2 ، ρ مقادیر کمکی هستند که با توجه به هندسه شیار تعریف گردیده و در مرجع [۲۰] موجود می باشند. σ_{\max} ، استحکام تسلیم ماده، r_0 ، شعاع انتهای شیار، r ، فاصله مرکز انحنای شیار تا محل تنش کششی حداقل و $\sigma_{r\theta}(r,0)$ مقدار تنش برشی حداقل در حالت بارگذاری مود دوم خالص است. شکل ۷- مقایسه مسیر ایجاد و

۴۰/۶۳ درصد می‌باشد. لذا در مقایسه با معیارهای کرنشی معیارهای تنشی از دقت بهتری در پیش‌بینی شکست و زاویه ایجاد ترک برخوردار می‌باشند.

معیارهای کرنشی برخوردارند. مطابق با جدول ۶ نیز حداکثر خطا در مورد زاویه ایجاد ترک در معیار حداکثر تنش اصلی برای زاویه‌های رأس شیلار ۹۰.۶۰.۳۰ درجه، به ترتیب ۱۱/۲۱، ۱۲/۸۳ و ۹/۵۲ درصد و در معیار حداکثر کرنش اصلی به ترتیب برابر با ۴۲/۳۷.۵۹/۹۴ و

جدول ۵- مقایسه نتایج نیروی شکست پیش‌بینی شده توسط معیارهای مختلف با نتایج آزمون تجربی [۱۹]

%Err	F_{QNE} (KN)	%Err	F_{QNS} (KN)	%Err	F_{MNE} (KN)	%Err	F_{MNS} (KN)	%Err	F_{MPE} (KN)	%Err	F_{MPS} (KN)	F_{Exp} [۱۹]	β	2α
۲۲/۹۵	۷/۵۰	۰/۸۲	۶/۰۵	۲۲/۶۲	۷/۴۸	۰/۸۲	۶/۰۵	۲۲/۶۲	۷/۴۸	۱/۴۸	۶/۱۹	۶/۱۰	۰	۳۰
۲۴/۰۷	۷/۳۲	۰/۱۷	۵/۸۹	۲۳/۳۹	۷/۲۸	۰/۱۷	۵/۸۹	۲۱/۵۳	۷/۱۷	۲/۲۰	۶/۰۳	۵/۹۰	۵	۳۰
۱۵/۹۴	۷/۴۲	۶/۰۹	۶/۰۱	۱۵/۶۳	۷/۴۰	۶/۵۶	۵/۹۸	۱۴/۰۶	۷/۳۰	۴/۳۸	۶/۱۲	۶/۴۰	۱۰	۳۰
۱۷/۷۲	۷/۲۴	۴/۸۸	۵/۸۵	۱۷/۲۴	۷/۲۱	۵/۲۰	۵/۸۳	۱۵/۷۷	۷/۱۲	۲/۷۶	۵/۹۸	۶/۱۵	۱۵	۳۰
۳۰/۹۳	۷/۰۷	۴/۶۳	۵/۶۵	۳۰/۵۶	۷/۰۵	۵/۳۷	۵/۶۹	۲۸/۷۰	۶/۹۵	۷/۹۶	۵/۸۳	۵/۴۰	۲۰	۳۰
۱۵/۳۸	۶/۰۰	۶/۳۵	۴/۸۷	۱۵/۳۸	۶/۰۰	۶/۵۴	۴/۸۶	۱۴/۰۴	۵/۹۳	۴/۲۳	۴/۹۸	۵/۲۰	۰	۶۰
۱۸/۰۴	۶/۰۲	۴/۳۱	۴/۸۸	۱۷/۸۴	۶/۰۱	۴/۵۱	۴/۸۷	۱۷/۸۴	۶/۰۱	۲/۷۵	۴/۹۶	۵/۱۰	۵	۶۰
۱۷/۲۵	۵/۹۸	۴/۹۰	۴/۸۵	۱۷/۲۵	۵/۹۸	۴/۹۰	۴/۸۵	۱۷/۲۵	۵/۹۸	۲/۵۵	۴/۹۷	۵/۱۰	۱۰	۶۰
۱۸/۰۴	۶/۰۲	۴/۳۱	۴/۸۸	۱۸/۴۳	۶/۰۴	۴/۱۲	۴/۸۹	۱۷/۸۴	۶/۰۱	۲/۱۶	۴/۹۹	۵/۱۰	۱۵	۶۰
۱۵/۱۹	۶/۲۲	۲/۵۹	۵/۲۶	۱۷/۴۱	۶/۳۴	۴/۸۱	۵/۱۴	۱۶/۴۸	۶/۲۹	۲/۹۶	۵/۲۴	۵/۴۰	۲۵	۶۰
۱۸/۰۰	۴/۱۳	۴/۵۷	۳/۳۴	۱۷/۷۱	۴/۱۲	۴/۵۷	۳/۳۴	۱۶/۸۶	۴/۰۹	۲/۰۰	۳/۴۳	۳/۵۰	۰	۹۰
۱۵/۱۴	۴/۲۶	۶/۷۶	۲/۴۵	۱۴/۸۶	۴/۲۵	۷/۵۷	۳/۴۲	۱۴/۵۹	۴/۲۴	۵/۱۴	۳/۵۱	۳/۷۰	۵	۹۰
۱۱/۷۹	۴/۳۶	۱۰/۰۰	۳/۵۱	۱۱/۰۳	۴/۳۳	۱۰/۲۶	۳/۵۰	۹/۷۴	۴/۲۸	۸/۹۷	۳/۵۵	۳/۹۰	۱۰	۹۰
۲۲/۰۹	۵/۲۵	۲/۵۶	۴/۱۹	۲۱/۴۰	۵/۲۲	۲/۷۹	۴/۱۸	۲۱/۴۰	۵/۲۲	۰/۲۳	۴/۲۹	۴/۳۰	۲۰	۹۰
۲۱/۳۳	۵/۴۶	۰/۸۹	۴/۴۶	۲۱/۵۶	۵/۴۷	۱/۵۶	۴/۴۳	۱۹/۵۶	۵/۳۸	۰/۶۷	۴/۵۳	۴/۵۰	۲۵	۹۰

۵- نتیجه‌گیری

در این پژوهش ابتدا، به منظور بررسی مکانیزم جوانه‌زنی و رشد ترک در مواد ترد، از روش اجزاء محدود توسعه یافته استفاده شد. سپس، مدل‌های آسیب بر مبنای مدل‌های ناحیه چسبنده به عنوان معیار ایجاد و رشد ترک در نظر گرفته شدند. در ادامه، با استفاده از نرم‌افزار ABAQUS، تعدادی از مسائل آزمون شبیه‌سازی گردیده، مناطق آسیب‌دیده و بحرانی در آن‌ها پیش‌بینی شد. در آخر، نتایج حاصل از شبیه‌سازی‌های عددی با نتایج تجربی و تئوری مقایسه و اعتبارسنجی گردید. نتایج به دست آمده از شبیه‌سازی‌ها آشکار نمود که معیارهای تنشی از دقت قابل قبول تری نسبت به معیارهای کرنشی در محاسبه نیروی شکست و زاویه ایجاد ترک برخوردار می‌باشند.

جدول ۶- نتایج زاویه ایجاد ترک پیش‌بینی شده توسط معیارهای حداکثر تنش اصلی و حداکثر کرنش اصلی با نتایج آزمون تجربی [۱۹]

%Err	θ_{MPE}	%Err	θ_{MPS}	θ_{Exp}	β	2α
.	۳۰
۴۸/۰۲	۱۳/۸۱	۸/۹۰	۸/۵۰	۹/۲۳	۵	۳۰
۳۹/۱۲	۲۶/۰۳	۱۲/۸۳	۱۶/۳۱	۱۸/۷۱	۱۰	۳۰
۲۵/۶۰	۳۵/۲۸	۲/۷۴	۲۷/۳۲	۲۸/۰۹	۱۵	۳۰
۱/۲۳	۳۷/۹۴	۶/۳۰	۳۵/۱۲	۳۷/۴۸	۲۰	۳۰
.	۶۰
۴۷/۵۹	۱۱/۰۱	۹/۱۲	۸/۱۴	۷/۴۶	۵	۶۰
۵۱/۶۶	۲۸/۳۹	۰/۲۷	۱۸/۶۷	۱۸/۷۲	۱۰	۶۰
۳۸/۸۵	۳۶/۴۲	۱۱/۲۱	۲۹/۱۷	۲۶/۲۳	۱۵	۶۰
۵/۳۳	۴۲/۵۹	۱۰/۵۸	۴۰/۲۳	۴۴/۹۹	۲۵	۶۰
.	۹۰
۴۳/۴۵	۱۲/۰۵	۹/۵۲	۹/۲۰	۸/۴۰	۵	۹۰
۷۶/۲۶	۲۹/۷۰	۷/۱۲	۱۸/۰۵	۱۶/۸۵	۱۰	۹۰
۲۷/۶۸	۳۵/۸۹	۰/۶۴	۲۸/۲۹	۲۸/۱۱	۲۰	۹۰
۲۰/۴۲	۴۰/۶۳	۸/۰۳	۳۶/۴۵	۳۳/۷۴	۲۵	۹۰

۶- مراجع

notched polycrystalline graphite under tensile-shear loading, *Materials Science Engineering*, Vol. 528, pp. 5685-5695, 2011.

- [1] Griffith A.A., The phenomenon of rupture and flow in solids, *philosophical transactions*, Vol. 221, pp. 163-198, 1920.
- [2] Irwin G.R., Analysis of stress and strains near the end of a crack traversing a plate, *Applied Mechanics*, Vol. 24, pp. 109-114, 1957.
- [3] Rice J.R., Path-independent integral and the approximate analysis of strain concentration by notches and crack, *Applied Mechanics Transactions* Vol. 35, pp. 379-386, 1968.
- [4] Barenblatt G., The mathematical theory of equilibrium cracks in brittle fracture, *Advances in Applied Mechanics*, Vol. 7, pp. 55-129, 1962.
- [5] Hillerborg A., Modeer M., Petersson P., Analysis of crack formation and crack growth in concrete by means of fracture mechanics and finite elements, *Cement and Concrete Research*, Vol. 6, pp. 773-782, 1976.
- [6] Carter B.J., Lajtai E.Z., Ayari M.L., Criteria for brittle fracture in compression, *Engineering Fracture Mechanics*, Vol. 37, pp. 59-74, 1990.
- [7] Fischer K.F., Review of brittle fracture criteria in case of static and cyclic mixed mode loading, *Theoretical and Applied Fracture Mechanics*, Vol. 1, pp. 117-131, 1984.
- [8] Belytschko T., Black T., Elastic crack growth in finite elements with minimal remeshing, *Numerical Method in Engineering*, Vol. 45, pp. 601-620, 1999.
- [9] Kurek M., Walat K., Ogonowski C., Lagoda T., The multiaxial random fatigue criteria based on strain and energy damage parameters on the critical plane for the low-cycle range, *International Journal of Fatigue*, Vol. 37, pp. 100-111, 2012.
- [10] Torabi A.R., Pirhadi E., Stress-based criteria for brittle fracture in key-hole notches under mixed mode loading, *European Journal of Mechanics and Solids*, Vol. 49, pp. 1-12, 2014.
- [11] Torabi A.R., Firoozabadi M., Ayatollahi M.R., Brittle fracture analysis of blunt V-notches under compression, *International Journal of Solids and Structures*, Vol. 67-68, pp. 219-230, 2015.
- [12] Saboori B., Ayatollahi M.R., Torabi A.R., Berto F., Mixed mode I/III brittle fracture in round-tip V-notches, *Theoretical and Applied Fracture Mechanics*, Vol. 83, pp. 135-151, 2016.
- [13] Moes N., Dolbow J., Belytschko T., A finite element method for crack growth without remeshing, *Numerical Method in Engineering*, Vol. 149, pp. 131- 150, 1999.
- [14] Mohammadi B., Salimi-Majd D., Ali-Bakhshi M.H., Analysis of composite skin/stringer debonding and failure under static loading using cohesive zone model, *Mechanical Engineering of Modares*, Vol. 14, pp. 17-25, 2014. (In persian)
- [15] ABAQUS6.14 Help Documentation.ABAQUS theory manual.
- [16] Salimi-Majd D., Investigation of delamination in laminated composites under fatigue loading using the cohesive interface element, *Msc thesis, School of Mechanical Engineering, Iran University of Science and Technology*, 2013. (In persian)
- [17] Balzani C., Wagner W., An interface element for the simulation of delamination in unidirectional fiber-reinforced composite laminates, *Engineering Fracture Mechanics*, Vol. 75, pp. 2597-2615, 2008.
- [18] Lazzarin P., Berto F., Ayatollahi A.R., Brittle failure of inclined key-hole notches in isostatic graphite under in-Plane mixed mode loading, *Fatigue and Fracture of Engineering Materials and Structures*, Vol. 36, pp. 942-955, 2013.
- [19] Berto F., Ayatollahi M.R., Fracture assessment of brazilian disc specimens weakened by blunt V-notches under mixedmode loading by mean of local energy, *Materials and Design*, Vol. 32, pp. 2858-2869, 2011.
- [20] Ayatollahi M.R., Torabi A.R., Failure assessment of